

идеальных канатах для
автомата Левина и Трудо-
вой теории раскрутки
и закрутки в відділ
АН УРСР, № 2, 1954.
асимптотического метода
(канаты) змінної довжини.

бных дифференциальных
и та деякі застосування,
ерія, № 3, 1948.

ститут математики
АН УРСР

ОБ УПРУГОСТИ (КАНАТЕ) ЧЕСКОГО МЕТОДА

10

несовершенной упру-
меняет, как в коди-
ежение динамических

ри помощи асимпто-
и нити (каната) пере-
ка (150—200 м). При
ма подъема (рис. 1).
нения (1) по методу
отического метода к
ить второй участок

венно к трем участ-
кулам (26)—(28).

II) приводит к следу-
ю: $v_0 + at$ можно
та несовершенной
усилия в нити (ка-
ри $a > a_{кр}$ — затух-

54), $a > 5000$ кг·сек.
енный (26)—(28) мож-
бокших шахт на всех
затухают.

при помощи формул
несовершенной упру-
кой длины.

единститута, т. VI.

И. Нероновым. Записки

ПРО КОВЗНИЙ РУХ ДИНАМІЧНИХ СИСТЕМ

О. Ю. Ішлінський

(Київ)

1°. Нехай динамічна система описується сукупністю диференціаль-
них рівнянь*)

$$\frac{dx_k}{dt} = X_k(x_1, x_2, \dots, x_n), \quad k = 1, 2, \dots, n, \quad (1)$$

в яких деякі з функцій $X_k(x_1, x_2, \dots, x_n)$ мають розриви першого роду
на гіперповерхнях

$$F_j(x_1, x_2, \dots, x_n) = 0, \quad j = 1, 2, \dots, m. \quad (2)$$

Розв'язок сукупності рівнянь (1) можна інтерпретувати, як завдан-
ня траєкторії якоїсь точки P в прямокутній системі координат $x_1,$
 x_2, \dots, x_n багатомірного фазового простору при довільному вихідному
положенні цієї точки

$$x_1 = x_1^0, \quad x_2 = x_2^0, \dots, \quad x_n = x_n^0 \quad (3)$$

в початковий момент часу $t = t^0$.

Диференціальні рівняння (1) визначають вектор швидкості згаданої
точки P , як функцію координат її поточного місцеперебування.

На поверхнях розриву вектор швидкості, по суті, не визначений.

Розглянемо яку-небудь точку S однієї поверхні розриву. Обмежимося
тим випадком, коли вектор швидкості неперервний в кожній з двох малих
областей, які оточують цю точку з обох боків поверхні розриву.

Якщо в кожній із згаданих областей наближатись до точки S , то граничні напрямки вектора швидкості виявляться різними. Будемо вважати,
що модулі цих граничних векторів відмінні від нуля, а напрямки не ле-
жать в дотичній площині до поверхні розриву, побудованої в точці S .

В цьому випадку для кожної з областей можна побудувати свою тра-
єкторію, на якій розміщена точка S . Якщо проєкції граничних векторів
на нормаль до поверхні розриву мають один і той же знак, то ці обидві
криві можна вважати складовими частинами однієї і тієї ж траєкторії фазо-
вої точки P . Точка P рухається по цій траєкторії в одному напрямку
(рис. 1), причому при проходженні через поверхню розриву швидкість
точки різко змінюється як по величині, так і по напрямку.

Якщо ж згадані проєкції мають протилежні знаки, то точка P або
віддаляється від поверхні розриву, як-би близько не було її початкове
положення на одній з цих кривих, або, навпаки, з обох боків попадає в
точку S , і надалі її рух уже не може підлягати диференціальним рівнян-
ням (1).

*) Розділ 1° при першому читанні може бути пропущений.

Вважають, звичайно, що далі точка P залишається на поверхні розриву і продовжує рухатися уже з меншим на одиницю числом вільних координат (рис. 2). Такий рух називається ковзним. Можливо виникнення ковзного руху ще з меншим числом степенів вільності, якщо точка P виявиться на перетині декількох поверхень розриву. Можна ввести також поняття нестійких ковзних рухів і ряд інших понять в залежності від поведінки функцій $X_k(x_1, x_2, \dots, x_n)$ поблизу поверхень розриву (2).



Рис. 1.



Рис. 2.

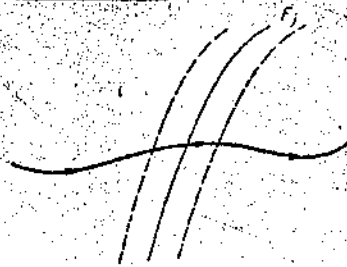


Рис. 3.



Рис. 4.

Припущення про те, що при ковзному русі фазова точка P залишається на поверхні розриву, має чисто геометричний характер. Його не можна прийняти за строго обґрунтування ковзного режиму реальних динамічних систем. Разом з тим функції $X_k(x_1, x_2, \dots, x_n)$ при наявності в них розривів першого роду являються своєрідними абстракціями дійсних представлень швидкостей динамічної системи через її координати.

Природно при цьому розглядати рух динамічної системи, яка підлягає сукупності диференціальних рівнянь (1), як граничний для якоїсь другої динамічної системи, у якій праві частини відповідних диференціальних рівнянь є неперервні функції координат x_1, x_2, \dots, x_n , що мають границею функції $X_k(x_1, x_2, \dots, x_n)^*$. З цією метою можна, наприклад, розглядати сукупність диференціальних рівнянь

$$\frac{dx_k}{dt} = X_k^*(x_1, x_2, \dots, x_n), \quad (4)$$

*) В деяких випадках функції $X_k(x_1, x_2, \dots, x_n)$ можуть бути граничними для деяких функцій, двозначних у певній області між двома граничними поверхнями, близькими до поверхні розриву, що знаходяться від неї по різні боки.

Вводячи поняття двох просторів, що зливаються один в одного в цій області, а також правила переходу фазової точки з одного простору в другий при досягненні відповідної границі, можна і в цьому випадку обґрунтувати ковзний режим динамічних систем. Для випадку $n=2$ це зроблено В. В. Петровим та Г. М. Уляновим в їх сумісній роботі, де вони використали багатозначні площини, які багато в чому нагадують риманові поверхні. Згадані багатозначності зустрічаються на практиці при дослідженні поведінки схем автоматичного регулювання, що містять в собі реле з затриманням або аналогічні інші елементи.

де функції X_k^* $X_k(x_1, x_2, \dots, x_n)$ верхні розриву товщини цих оміщені всередині міщуються на

Вибір значення в достатній мірі

Доказ незалежності вибору являє собою динамічні системи мають границю

2°. Приведення системи.

Граничні динамічні режими, в яких викладок, точного розв'язку рівнянь типу (1) ними правими розвитку математичної науки до розгляду постановки, значній мірі склади

Таким чином маятника, вісь якого, а центр тяжіння перетину всіх об'єктів кільця (або маятника) і на

Якщо зберігати

то в положеннях це розміщений звичайно, не враховуючи його корпусу

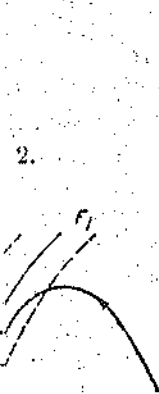
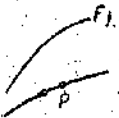
Малі повороти положення різно підвісу, позначимо

Користуючись жати такі рівняння ваги:

де H — власний момент ваги

Так звані ігнорують зовнішнє кільце

чи на поверхні розриву (2) числом відрізків, які виникають, якщо точка P мі-
 Можна вестн також в залежності від
 ь розриву (2).



азова точка P зали-
 й характер. Його не
 о режиму реальних
 ..., x_n) при наявності
 абстракціями дій-
 через її координати.
 системи, яка підля-
 граничний для якоїсь
 відповідних диференці-
 ..., x_n , що мають
 жна, наприклад, роз-

(4)

ь бути граничними для
 граничними поверхнями,
 різні боки.
 в одного в цій області,
 в другий при досягненні
 ковзні режими дина-
 зним та Г. М. Улановим
 площини, які багато в
 зустрічаються на прак-
 вання, що містять в собі

де функції $X_k^*(x_1, x_2, \dots, x_n)$ неперервні і збігаються з функціями
 $X_k(x_1, x_2, \dots, x_n)$ всюди, крім вузьких областей, що охоплюють по-
 верхні розриви (2) і зникають при граничному переході. При наближенні
 товщини цих областей до нуля можна чекати, що фазові траєкторії, роз-
 міщені всередині них або вироджуються в точки, або в криву, які роз-
 міщуються на поверхні F_j . Останні відповідають ковзним режимам.

Вибір значень функцій $X_k^*(x_1, x_2, \dots, x_n)$ в цих вузьких областях
 в достатній мірі довільний.

Доказ незалежності результату граничного переходу від згаданого
 вибору являє собою цікаву математичну задачу. Як правило, для реаль-
 них динамічних систем від неперервних функцій $X_k^*(x_1, x_2, \dots, x_n)$, які
 мають границю функції $X_k(x_1, x_2, \dots, x_n)$, являється відомим.

2°. Приведені загальні міркування ілюстру-
 ються нижче на прикладі однієї гіроскопічної
 системи.

Граничні переходи, які приводять до ковз-
 них режимів, вимагають тут порівняно громід-
 ких викладок, зв'язаних з використанням фак-
 тичного розв'язку сукупності диференціальних
 рівнянь типу (4) з неперервними кусочно-ліній-
 ними правими частинами. Здається, що після
 розвитку математичних досліджень, які відно-
 сяться до розглянутого питання в його загаль-
 ній постановці, подібні викладки можуть бути в
 значній мірі скорочені.

Таким чином, звернемося тепер до дослідження руху гіроскопічного
 маятника, вісь зовнішнього кільця якого відхилена від вертикалі на кут
 γ , а центр тяжіння системи ротор — внутрішнє кільце зміщений від точки
 перетину всіх осей карданового підвісу на віддаль b вздовж осі внутріш-
 нього кільця (або кожуха, при іншому конструктивному оформленні гіро-
 маятника) і на віддаль c вздовж осі зовнішнього кільця підвісу (рис. 5).

Якщо зберігається умова

$$b = c \cdot \operatorname{tg} \gamma, \quad (5)$$

то в положеннях рівноваги центр тяжіння системи ротор — внутрішнє кіль-
 це розміщений на одній вертикалі з центром карданового підвісу, якщо,
 звичайно, не враховувати вплив на гіроскоп кутової швидкості Землі і вва-
 жати його корпус нерухомим (відносно Землі).

Малі повороти зовнішнього і внутрішнього карданових кілець від того
 положення рівноваги, при якому центр тяжіння розміщений нижче центра
 підвісу, позначимо відповідно через α і β .

Користуючись відомими прийомами теорії гіроскопів [1, 2], можна одер-
 жати такі рівняння малих рухів гіромаятника поблизу положення рівно-
 ваги:

$$H \frac{d\alpha}{dt} = - (c\alpha \sin \gamma + c\beta \cos \gamma) Q, \quad (6)$$

$$H \frac{d\beta}{dt} = (b\alpha \sin \gamma + c\beta \sin \gamma) Q - K(\beta),$$

де H — власний кінетичний момент гіроскопа і

Q — вага системи ротор — внутрішнє кільце карданового підвісу.

Так звані інерційні члени та моменти тертя в осях підвісу в рівнян-
 нях (6) ігноруються. Момент $K(\beta)$ являє собою штучно створену дію на
 зовнішнє кільце карданового підвісу з допомогою спеціального устрою

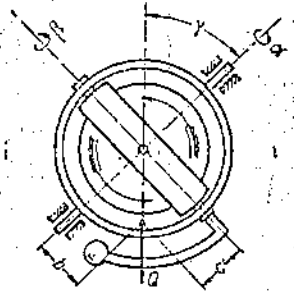


Рис. 5.

(електричного, пневматичного та ін.). Графік залежності цієї дії від кута β зображений на рис. 6, причому

$$m(x) = \frac{K(\beta)}{bQ}, \quad x = \beta \cos \gamma. \quad (7)$$

Функція $K(\beta)$ має, таким чином, розрив першого роду в точці $\beta = 0$. Будемо вважати, що функція $K(\beta)$ являється граничною при $\beta_1 \rightarrow 0$ для функції $K^*(\beta)$, характер зміни якої в залежності від кута β устанавлюється графіком, зображеним на рис. 7*).

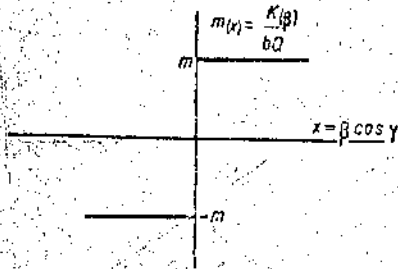


Рис. 6.

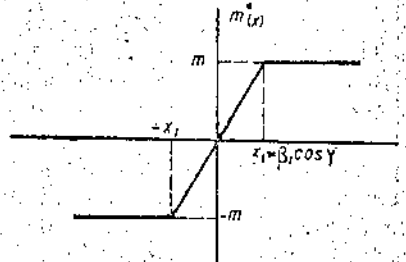


Рис. 7.

Беручи до уваги співвідношення (5) та (7) і вводячи нові змінні

$$x = \beta \cos \gamma \quad \text{та} \quad y = \alpha \sin \gamma, \quad (8)$$

можна привести сукупність диференціальних рівнянь (6) до вигляду

$$\frac{dx}{d\tau} = x + y - m(x), \quad (9)$$

$$\frac{dy}{d\tau} = -(x + y).$$

Тут τ — безрозмірний час, зв'язаний із змінною t співвідношенням

$$t = \frac{H}{bQ \cos \gamma} \tau. \quad (10)$$

Якщо $x > 0$, то

$$m(x) = +m, \quad (11)$$

причому m — постійна величина.

*) Рівняння (6), як було відмічено вище, описують так званий прецесійний рух гіроскопічної системи без врахування нутацій.

Нутаційні рухи гіроскопічної системи відбуваються з більшою частотою і, як правило, швидко затухають. Однак вони виникають знову при всякій різкій зміні сил, які діють на гіроскопічну систему.

Внаслідок цього неврахування нутаційних рухів при переривному характері зміни моменту $K(\beta)$, як функції кута β (рис. 6), може стрінуги заперечення, особливо, при обгрунтуванні ковзних режимів руху гіроскопічної системи. Особливо істотними такі заперечення можуть виявитись для систем силової гіроскопічної стабілізації, де нутаційні коливання дуже помітні, і в ряді випадків потрібний спеціальний розрахунок системи на стійкість.

Однак для системи індикаторного типу уже при достатньо малих значеннях так званої зони лінійності — $\beta_1 < \beta < \beta_2$ графіка моменту $K(\beta)$ (рис. 7) нутаційні рухи зовсім не помітні.

Отже, хоч строго кажучи для перерваної функції $m(\beta)$ згадані заперечення залишаються в силі для любой гіроскопічної системи, для систем індикаторного типу врахування нутаційних рухів не потрібне.

Рівняння

де x_0 та y_0 в
часу $\tau = 0$; не
На фазов
що являються

Ці дуги (рис.
своїми кінцями
Вершини п

Всі вони маю
і можуть бути
кресленого від

Рух фазов
що вектор шви
Легко впе
розміщений на
траекторії упи

Рівняння (9) мають в цьому випадку розв'язок

$$x = -\frac{m\tau^2}{2} + (x_0 + y_0 - m)\tau + x_0, \tag{12}$$

$$y = \frac{m\tau^2}{2} - (x_0 + y_0)\tau + y_0,$$

де x_0 та y_0 — вихідні значення відшуканих функцій $x(\tau)$ та $y(\tau)$ в момент часу $\tau = 0$; величини x_0 мають бути додатною.

На фазовій площині розв'язкові (12) відповідають фазові траєкторії, що являються дугами парабол

$$y = \frac{(x+y)^2 - (x_0+y_0)^2}{2m} + y_0. \tag{13}$$

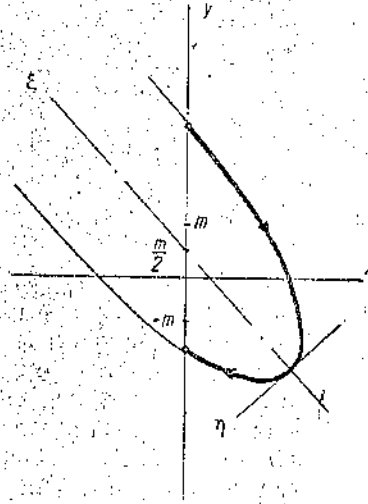


Рис. 8.

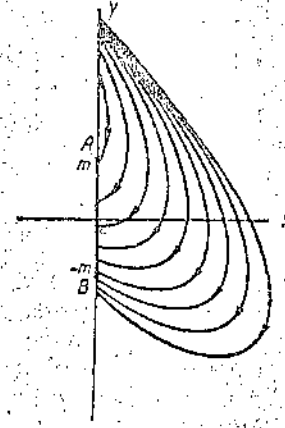


Рис. 9.

Ці дуги (рис. 8) розміщені в правій півплощині ($x > 0$) і упираються своїми кінцями в вісь y .

Вершини парабол (13) розміщені на прямій

$$x + y = \frac{m}{2}. \tag{14}$$

Всі вони мають загальну вісь симетрії, що створює з віссю x кут $\frac{3\pi}{4}$, і можуть бути побудовані за допомогою одного і того ж шаблону, викресленого відповідно рівнянню

$$\eta^2 = \frac{m}{\sqrt{2}} \xi. \tag{15}$$

Рух фазової точки по кожній з траєкторій (13) відбувається так, що вектор швидкості цієї точки повертається по стрілці годинника.

Легко впевнитись, що початок всіх траєкторій правої півплощини розміщений на осі y вище точки A з координатами $x = 0, y = +m$. Кінці траєкторій упираються в вісь нижче цієї точки (рис. 9).

Аналогічно можуть бути побудовані фазові траєкторії для випадку $x < 0$, при якому

$$m(x) = -m. \quad (16)$$

Ці траєкторії цілком розміщені в лівій півплощині, вони можуть бути одержані з траєкторій правої півплощини за допомогою повороту цієї півплощини на кут π навколо початку координат або, що те ж саме, за допомогою двох послідовних дзеркальних відображень траєкторій — відносно осі x і далі відносно осі y . Траєкторії лівої півплощини починаються на осі y нижче точки B з координатами $x = 0$, $y = -m$ і упираються в ту ж вісь всюди вище цієї точки.

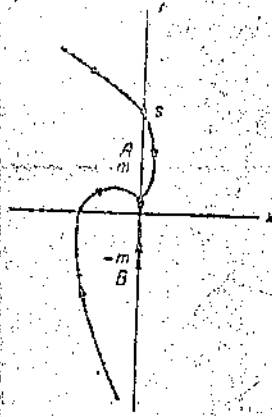


Рис. 10.

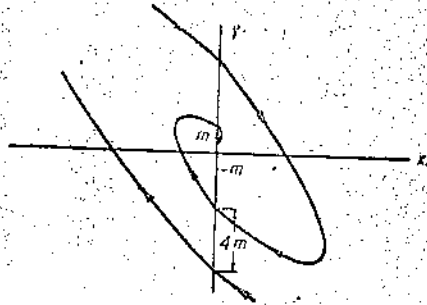


Рис. 11.

Розглянемо тепер якусь точку S осі y , що являється лінією розриву для функції $m(x)$ (рис. 10). Якщо точка S розміщена поза відрізком $(-m, m)$, тобто або вище точки A , або нижче точки B , то вона являється одночасно кінцем траєкторії, розміщеної в одній півплощині (наприклад, лівій) і початком траєкторії, розміщеної в другій півплощині (наприклад, правій). Ясно, що така точка осі y не являється точкою ковзання, і фазова точка P з поточними координатами x та y при своєму русі може без перешкод перетинати вісь y , переходячи з однієї півплощини в іншу.

Фазова траєкторія являє собою в цьому випадку від спіралі, зіставленої з дуг описаних вище парабол; вона перетинає вісь y в точках, кожна наступна з яких ближче до початку координат, ніж попередня, на відрізок довжиною $2m$ (рис. 11).

Остання з цих дуг буде упиратись в одну з точок відрізка AB . Дальший рух фазової точки P з переходом в іншу півплощину виявляється тепер вже неможливим. Дійсно, в точки відрізка AB упираються кінці траєкторій як лівої, так і правої півплощин. Отже, фазові точки, що знаходяться безпосередньо поблизу цього відрізка (за винятком, можливо, деяких точок, близьких до його кінців A та B), можуть до цього відрізка тільки наближатись (рис. 10).

В силу викладеного вище залишається припустити, що рух фазової точки, після того як вона опиниться на відрізку AB , буде ковзним. Зауважимо, що граничні вектори швидкості фазової точки, яка потрапила з будь-якої півплощини на верхню половину відрізка AB , мають від'ємні проекції на вісь y , а на нижню половину, навпаки, додатні (рис. 10). Можна, таким чином, чекати, що ковзний рух відбувається в напрямі початку координат, який є положенням рівноваги нашої динамічної системи.

Звертаючись до диференціальних рівнянь (9) і покладаючи в них $x \equiv 0$, помічаємо, що перше з них не має змісту, оскільки функція $m(x)$

при $x = 0$ не

звідки випли

де y_0 — ордин

ня по відріzk

Легко по

до одного і т

до початку кс

Як уже

рухів в загал

нях геометрич

кованими пр

3°. Тому

них рівнянь

няння якого

має неперервн

Розглянемо

рівнянням (19)

мають різний а

далі при $-x_1 <$

де

Нарешті, при x

кторії для випадку

(16)

вони можуть бути
огою повороту цієї
що те ж саме, за
траєкторій — від-
но осі y . Траєкторії
знаються на осі y
ординатами $x = 0$,
в ту ж вісь всюди

при $x = 0$ невизначена. Друге рівняння буде мати вигляд

$$\frac{dy}{d\tau} = -y, \quad (17)$$

звідки випливає, що

$$y = y_0 e^{-(\tau - \tau_0)}, \quad (18)$$

де y_0 — ордината фазової точки в момент часу $\tau = \tau_0$ початку її ковзан-
ня по відрізку AB .

Легко помітити, що геометричні і аналітичні міркування приводять
до одного і того ж якісного висновку про ковзний рух фазової точки
до початку координат.

Як уже згадувалось вище, при обговоренні проблеми ковзних
рухів в загальному випадку, подібні міркування, основані на припущен-
нях геометричного і аналітичного характеру, не можуть вважатись пере-
конливими при описанні рухів реальних систем.

3°. Тому розглянемо рух, що описується сукупністю диференціаль-
них рівнянь (9), як граничний для другого руху, диференціальне рів-
няння якого

$$\frac{dx}{d\tau} = x + y - m^*(x), \quad (19)$$

$$\frac{dy}{d\tau} = -(x + y),$$

має неперервну функцію $m^*(x)$, визначену графіком, зображеним на рис. 7.

Розглянемо тепер фазові траєкторії, що відповідають диференціальним
рівнянням (19). В залежності від інтервалу зміни величини x ці рівняння
мають різний аналітичний вигляд; а саме, при $x > x_1$, маємо

$$\frac{dx}{d\tau} = x + y - m, \quad (20)$$

$$\frac{dy}{d\tau} = -(x + y),$$

далі при $-x_1 < x < x_1$

$$\frac{dx}{d\tau} = x + y - kx, \quad (21)$$

$$\frac{dy}{d\tau} = -(x + y),$$

де

$$k = \frac{m}{x_1}. \quad (22)$$

Нарешті, при $x < -x_1$, рівняння набирають вигляду

$$\frac{dx}{d\tau} = x + y + m, \quad (23)$$

$$\frac{dy}{d\tau} = -(x + y).$$

ся лінією розриву
відрізком $(-m, m)$,
вляється одночасно
наприклад, лівій) і
наприклад, правій).
ня, і фазова точка
може без перешкод
іншу.

вид спіралі, зістав-
у в точках, кожна
опередня, на відрі-

відрізка AB . Даль-
ощину виявляється
упираються кінці
зові точки, що зна-
чінням, можливо,
до цього відрізка

и, що рух фазової
3, буде ковзним.
чки, яка потрапила
1B, мають від'ємні
і, додатні (рис. 10).
вається в напрямі
нашої динамічної

покладаючи в них
ьки функція $m(x)$

Розв'язок сукупності диференціальних рівнянь (20) уже був наведений вище, він виражається формулами (12) в яких, однак, потрібно тепер вважати $x_0 > x_1$. Якщо у всіх членів правих частин формул (12) змінити знак на обернений, то одержимо розв'язок сукупності диференціальних рівнянь (23), причому потрібно вважати $x_0 < -x_1$.

Нарешті, сукупність диференціальних рівнянь (21) являється однорідною і лінійною, розв'язок її має такий вигляд:

$$\begin{aligned} x &= e^{-\frac{k}{2}\tau} \left[x_0 \operatorname{ch} n\tau - \frac{(k-2)x_0 - 2y_0}{2n} \operatorname{sh} n\tau \right], \\ y &= e^{-\frac{k}{2}\tau} \left[y_0 \operatorname{ch} n\tau + \frac{(k-2)y_0 - 2x_0}{2n} \operatorname{sh} n\tau \right], \end{aligned} \quad (24)$$

де

$$n = \frac{1}{2} \sqrt{k(k-4)}. \quad (25)$$

Граничний перехід від сукупності диференціальних рівнянь (19) до рівнянь (9) відбувається при умові $x_1 \rightarrow 0$, або, що те ж саме, при $k \rightarrow \infty$. В зв'язку з цим число n можна вважати додатним. В такому випадку формули (24) зображують асимптотичний рух фазової точки з координатами x та y до початку координат. Легко показати, що всі фазові траєкторії дотикаються в початку координат до прямої

$$y = \left[\frac{k}{2} - 1 + \frac{1}{2} \sqrt{k(k-4)} \right] x, \quad (26)$$

кутовий коефіцієнт якої зростає разом з коефіцієнтом k . Розв'язок (24) справедливий тільки при зміні x в інтервалі $(-x_1, +x_1)$; поза цими границями мають силу формули (12) при $x > x_1$ та їм аналогічні при $x < -x_1$.

Нехай в результаті свого руху фазова точка P опинилась на прямій $x = -x_1$ в якомусь місці з ординатою y_1 . Через те, що пряма $x = -x_1$ не являється лінією розриву, то далі рух фазової точки відбуватиметься в області $-x_1 < x < +x_1$ відповідно формулам (24). Може трапитися, що в цьому випадку точка P через деякий час попаде на пряму $x = x_1$ і перейде далі в область $x > x_1$, де її рух буде відбуватись відповідно формулам (12), поки вона знову не вернеться в область $-x_1 < x < +x_1$. Можливий і такий рух, при якому точка P , опинившись в області $-x_1 < x < x_1$, вже її не залишить. Той чи інший вид руху залежить від того, більше чи менше величини x_1 максимальне значення перемінної величини x при її зміні відповідно першій формулі (24). Це в свою чергу залежить від ординати y_0 початку траєкторії фазової точки P в області $-x_1 < x < +x_1$.

Далі буде показано таке: якщо $y_1 > m$ (а також, якщо $y_1 < -m$), то при достатньо малому x_1 траєкторія, що визначається рівняннями (24), перетинає пряму $x = +x_1$. При цьому час перебування фазової точки поміж прямими $x = -x_1$ та $x = +x_1$ прямує до нуля разом з x_1 .

В граничному випадку при $x_1 \rightarrow 0$ одержимо, що точка P при $y_1 > m$ переходить з лівої фазової півплощини в праву, не затримуючись на осі y .

Навпаки, при $-m < y_1 < m$ виявляється, що траєкторія фазової точки при достатньо малому x_1 , взагалі не залишає області $-x_1 < x < +x_1$ і асимптотично наближається до початку координат $x = y = 0$.

В граничному випадку при $x_1 \rightarrow 0$ цей рух обертається в ковзний по осі y_1 , що відбувається по закону (18). Доказ справедливості вказаних вище тверджень рівносильний строгому обґрунтуванню закономірностей

стей ковзного при $x_1 \rightarrow 0$ неперервного з розривом перериву.

Отже, переривні кривих, які виражають всі вони в границях, які проходять через вільну точку y .

Дійсно, являється фазовою траєкторією, значається координатами $x = -x_1$.

то згідно з першою формулою момент часу, координата y , в момент часу τ дає на вільну точку y , в момент часу τ .

$$\operatorname{th} n\tau = \frac{y - y_0}{x - x_1}$$

При достатньо малому x_1 маємо

$$y_0 > (n - 1)x_1$$

Загальний вигляд траєкторії (21), зображений на рис. 1, має вузол.

Таким чином, маємо

то відповідні криві $x = -x_1$ та $x = +x_1$.

Нехай умовою $y_1 > m$ перетне вільну точку y асимптотично наближається до початку координат по часу має, згідно з формулою (18), вигляд

$$\frac{dx}{d\tau} = e^{-\frac{k}{2}\tau}$$

Отже, момент часу τ визначається координатою x точки P , визначається

в якому потрібні координати x та y точки P .

Рівняння (32) має

рівнозначна нерівності $x > x_1$.

уже був наведений
так, потрібно тепер
формулу (12) замінити
осі диференціальних

) являється однорід-

$$\text{th } n\tau = \dots \quad (24)$$

$$\dots \quad (25)$$

рівнянь (19) до рів-
ж саме, при $k \rightarrow \infty$.
В такому випадку
ої точки з координа-
що всі фазові траек-

$$\dots \quad (26)$$

ом k . Розв'язок (24)
 $+x_1$; поза цими гра-
логічні при $x < -x_1$.

опинилась на прямій
рез те, що пряма
фазової точки відбу-
формулам (24). Може
й час попаде на пря-

ух буде відбуватись
ернеться в область
точка P , опинившись

чи інший вид руху
максимальне значення
оїй формулі (24). Це
сторі фазової точки P

ж, якщо $y_1 < -m$,
сья рівняннями (24),
ування фазової точки
я разом з x_1 .

точка P при $y_1 > m$
атримуючись на осі y .
екторії фазової точ-
асті $-x_1 < x < +x_1$

$x = y = 0$.
ртається в ковзний
праведливості вказа-
уванню закономірно-

стей кінцяного режиму розглянутої динамічної системи, через те що
при $x_1 \rightarrow 0$, неперервна функція $m^*(x)$ має своєю граничною функцією $m(x)$
з розривом першого роду в точці $x = 0$.

Отже, перейдемо до детального розгляду поведінки інтегральних
кривих, які визначаються рівняннями (24). Як уже було відмічено вище,
всі вони в границі при $t \rightarrow \infty$ дотикаються до прямої (26). Частина кри-
вих, які проходять через точки прямої $x = -x_1$, взагалі не перетинає
вісь y .

Дійсно, якщо початкове поло-
ження фазової точки P при $\tau = 0$ ви-
значається координатами

$$x = -x_1, \quad y = y_0, \quad (27)$$

то згідно з першим рівнянням (24)
момент часу, коли фазова точка попа-
дає на вісь y , визначається трансцен-
дентним рівнянням

$$\text{th } n\tau = \frac{2nx_1}{(k-2)x_1 + 2y_0} \quad (28)$$

При достатньо великому k це рівняння має додатні корені при умові

$$y_0 > \left(n - \frac{k-2}{2}\right)x_1 = \left[-\left(\frac{k}{2} - 1\right) + \frac{1}{2}\sqrt{k(k-4)}\right]x_1. \quad (29)$$

Загальний вигляд сімейства інтегральних кривих, що визначаються рів-
нянням (21), зображений на рис. 12. В точці $x = y = 0$ це сімейство ство-
рює вузол.

Таким чином, якщо

$$y_0 < \left(n - \frac{k-2}{2}\right)x_1, \quad (30)$$

то відповідні криві повністю залишаються при всіх значеннях $\tau > 0$
в смузі $-x_1 < x < 0$.

Нехай умову (29) виконано; тоді фазова точка в деякий момент часу
перетне вісь y і далі, досягнувши якоїсь максимальної абсциси x_m , буде
асимптотично наближатись до початку координат. Похідна функція $x(\tau)$
по часу має, згідно з формулами (24), вигляд:

$$\frac{dx}{d\tau} = e^{-\frac{n}{2}\tau} \left\{ [y_0 - (k-1)x_0] \text{ch } n\tau + \frac{(k^2 - 3k)x_0 - ky_0}{2n} \text{sh } n\tau \right\}. \quad (31)$$

Отже, момент часу $\tau = \tau_m$, що відповідає максимальному значенню абсци-
си точки P , визначається трансцендентним рівнянням

$$\text{th } n\tau_m = 2n \frac{(k-1)x_0 - y_0}{(k^2 - 3k)x_0 - ky_0} \quad (32)$$

в якому потрібно покласти $x_0 = -x_1$.

Рівняння (32) завжди має додатний корінь τ_m , через те що нерівність

$$2n [(k-1)x_1 + y_0] < (k^2 - 3k)x_1 + ky_0 \quad (33)$$

рівнозначна нерівності (29) в зв'язку з наявністю тотожності

$$n - \frac{k-2}{2} = \frac{2n(k-1) - (k^2 - 3k)}{k-2n} \quad (34)$$

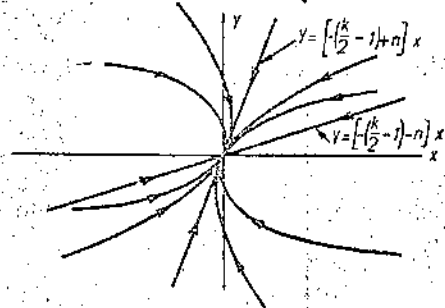


Рис. 12.

Ця тотожність легко перевіряється, якщо взяти до уваги формулу (25).
Введемо позначення

$$z = 2n \frac{(k-1)x_1 + y_0}{(k^2 - 3k)x_1 + ky_0}, \quad (35)$$

тоді, згідно з рівнянням (28), випливає, що

$$\operatorname{th} n\tau_m = z \quad \text{і} \quad \tau_m = \frac{1}{2n} \ln \frac{1+z}{1-z}. \quad (36)$$

Мають місце також формули

$$\operatorname{ch} n\tau_m = \frac{1}{\sqrt{1-z^2}}, \quad \operatorname{sh} n\tau_m = \frac{z}{\sqrt{1-z^2}}, \quad e^{-n\tau_m} = \sqrt{\frac{1-z}{1+z}}. \quad (37)$$

Знаючи момент часу τ_m , можна представити, відповідно першій з формул (24), вираз для x_m у вигляді

$$x_m = e^{-\frac{k}{2}n\tau_m} \operatorname{ch} n\tau_m \left[\frac{(k-2)x_1 + 2y_0}{2n} \operatorname{th} n\tau_m - x_1 \right]. \quad (38)$$

Використовуючи формули (36) і (37), а також попередню формулу, одержимо важливу рівність

$$\frac{x_m}{x_1} = (1-z)^{\frac{k}{4n} - \frac{1}{2}} (1+z)^{-\frac{k}{4n} - \frac{1}{2}} \left[z \left(\frac{k-2}{2n} + \frac{y_0}{nx_1} \right) - 1 \right]. \quad (39)$$

Розв'язування питання про те, чи залишить фазова точка P область $-x_1 < x < x_1$, чи ні, повністю визначається величиною відношення x_m до x_1 . Точка P піде в область $x_1 > 0$, якщо це відношення більше одиниці. Маючи на увазі знайти границю цього відношення при $k \rightarrow \infty$, зауважимо, що мають місце такі розклади по степенях $\frac{1}{k}$:

$$\frac{k}{2n} = \frac{k}{\sqrt{k^2 - 4k}} = \left(1 - \frac{4}{k}\right)^{-\frac{1}{2}} = 1 + \frac{2}{k} + \frac{6}{k^2} + \dots \quad (40)$$

$$\frac{2n}{k} = \left(1 - \frac{4}{k}\right)^{\frac{1}{2}} = 1 - \frac{2}{k} - \frac{2}{k^2} - \dots$$

Беручи до уваги ці розклади, а також формулу (22), одержимо

$$\begin{aligned} z &= 2n \frac{(k-1)x_1 + y_0}{(k^2 - 3k)x_1 + ky_0} = \frac{2n \left(1 - \frac{1}{k}\right)^m + y_0}{k^m \left(1 - \frac{3}{k}\right)^m + y_0} = \\ &= \left(1 - \frac{2}{k} - \frac{2}{k^2} - \dots\right) \left[1 + \frac{\frac{2}{k}m}{\left(1 - \frac{3}{k}\right)^m + y_0} \right] = \\ &= 1 - \frac{2y_0}{m + y_0} \frac{1}{k} + \left[\frac{6m^2}{(m + y_0)^2} - \frac{4m}{m + y_0} - 2 \right] \frac{1}{k^2} + \dots \quad (41) \end{aligned}$$

Підставляю

$$\frac{x_m}{x_1} = \left(\dots \right)$$

Границя вир

при $k \rightarrow \infty$ д

Беручи до у
ничних перем

Проміжок ча
у всякому ви
дами (40) і (

$\times \ln -$

Границя цього
Отже, як

то в границі, м
цію $m(x)$ (р
нію розриву x
Якщо

то фазова точк
назавжди, асим

Підставляючи розклади (40) і (41) в формулу (39), будемо мати:

$$\begin{aligned} \frac{x_m}{x_1} &= \left(\frac{2y_0}{m+y_0} \frac{1}{k} + \dots \right)^{\frac{1}{k} + \dots} \left(2 - \frac{2y_0}{m+y_0} \frac{1}{k} + \dots \right)^{-1 - \frac{1}{k} - \dots} \times \\ &\times \left[\frac{1 - \frac{2}{k}}{1 - \frac{2}{k} - \frac{2}{k^2} - \dots} \left(1 - \frac{2y_0}{m+y_0} \frac{1}{k} + \dots \right) + \right. \\ &\left. + \frac{y_0}{m} \left(2 + \frac{4}{k} + \dots \right) \left(1 - \frac{2y_0}{m+y_0} \frac{1}{k} + \dots \right) - 1 \right]. \end{aligned} \quad (42)$$

Границя виразу

$$\left(\frac{2y_0}{m+y_0} \frac{1}{k} + \dots \right)^{\frac{1}{k} + \dots} \quad (43)$$

при $k \rightarrow \infty$ дорівнює одиниці, тому що

$$\lim_{k \rightarrow \infty} \left[\frac{1}{k} \left(\ln \frac{2y_0}{m+y_0} - \ln k \right) \right] = 0. \quad (44)$$

Беручи до уваги цю обставину і здійснюючи в формулі (42) решту граничних переходів, приходимо до висновку, що

$$\lim_{k \rightarrow \infty} \frac{x_m}{x_1} = \frac{y_0}{m}. \quad (45)$$

Проміжок часу, протягом якого точка P перетинає область $-x_1 < x < +x_1$, у всякому випадку менше τ_m . Згідно з другою формулою (36) і розкладами (40) і (41) маємо

$$\begin{aligned} \tau_m &= \frac{1}{k} \left(1 + \frac{2}{k} + \dots \right) \times \\ &\times \ln \frac{2 - \frac{2y_0}{m+y_0} \frac{1}{k} + \dots}{\frac{2y_0}{m+y_0} \frac{1}{k} + \left[\frac{6m^2}{(m+y_0)^2} - \frac{4m}{m+y_0} - 2 \right] \frac{1}{k^2} + \dots} \end{aligned} \quad (46)$$

Границя цього виразу при $k \rightarrow \infty$ дорівнює нулеві.

Отже, якщо

$$y_0 > m, \quad (47)$$

то в границі, коли функція $m^*(x)$ (рис. 7) перетворюється в розривну функцію $m(x)$ (рис. 6), фазова точка P без затримки переходить через лінійний розрив $x=0$ з лівої півплощини в праву.

Якщо

$$x_m < x_1, \quad (48)$$

то фазова точка P , попавши в область $-x_1 < x < +x_1$, залишиться в ній назавжди, асимптотично наближаючись до початку координат.

При $k \rightarrow \infty$ нерівність (48) відповідно формулі (45) еквівалентна умові

$$y_0 < m. \quad (49)$$

Таким чином, якщо фазова точка, рухаючись по траєкторії, розміщеній в лівій півплощині, опиниться в якийсь момент часу на осі ординат нижче точки з координатами $(0, m)$, то далі її рух буде ковзним по осі y в напрямі початку координат.

Закон цього руху можна одержати, якщо виконати граничний перехід в рівняннях (24) при $k \rightarrow \infty$. Поклавши в них $x_0 = -x_1$ і замінивши гіперболічні функції показниковими, одержимо, використавши формулу (22),

$$x = \frac{m}{2k} \left\{ \left(\frac{k-2 + \frac{2ky_0}{m}}{\sqrt{k(k-4)}} - 1 \right) e^{\left[-\frac{k}{2} + \frac{1}{2}\sqrt{k(k-4)} \right] \tau} - \left(\frac{k-2 + \frac{2ky_0}{m}}{\sqrt{k(k-4)}} + 1 \right) e^{\left[-\frac{k}{2} - \frac{1}{2}\sqrt{k(k-4)} \right] \tau} \right\}, \quad (50)$$

$$y = \frac{y_0}{2} \left\{ \left(1 + \frac{k-2}{\sqrt{k(k-4)}} + \frac{2m}{ky_0\sqrt{k(k-4)}} \right) e^{\left[-\frac{k}{2} + \frac{1}{2}\sqrt{k(k-4)} \right] \tau} + \left(1 - \frac{k-2}{\sqrt{k(k-4)}} - \frac{2m}{ky_0\sqrt{k(k-4)}} \right) e^{\left[-\frac{k}{2} - \frac{1}{2}\sqrt{k(k-4)} \right] \tau} \right\}.$$

Помічаючи, що

$$\lim_{k \rightarrow \infty} \left[-\frac{k}{2} + \frac{1}{2}\sqrt{k(k-4)} \right] = -1, \quad (51)$$

і беручи до уваги в формулах (50) решту граничних переходів, одержимо шукані закономірності ковзного режиму

$$x = 0, \quad (52)$$

$$y = y_0 e^{-\tau},$$

які з точністю до початку відліку часу збігаються з формулою (18).

4°. Інший спосіб обґрунтування співвідношень (52) полягає в розгляді граничного переходу сукупності диференціальних рівнянь (21), за допомогою яких описується рух фазової точки P в області $-x_1 < x < +x_1$. Відповідно до першого з рівнянь (21) маємо

$$\lim_{x \rightarrow \infty} x = \lim_{k \rightarrow \infty} \frac{y - \frac{dx}{d\tau}}{k-1} = 0. \quad (53)$$

Далі, використовуючи граничне значення змінної x в другому з рівнянь (21), приходимо після відповідного інтегрування до другого співвідношення (52).

Однак, таке обґрунтування співвідношень (52) не можна вважати строгим через те, що при цьому припускається, що граничне представлення розв'язку сукупності диференціальних рівнянь і розв'язок граничної сукупності тих же диференціальних рівнянь збігаються.

Крім того
кувань геоме-
площини в лі-

5°. Висхід-
руху і в інших
Розглянемо-
тій же по від-

що і система,
графіком, зобр-

Рух фазової
випадку по пара-
В області -

звідки впливає,

Цей рух відбу-
вісь ординат ви-
диться нижче по-
Всі точки пр-

розміщені в обла-
рівноваги системи
По вертикал-
рух фазової точ-

Крім того, залишається збоку строге обґрунтування, вільне від міркувань геометричного характеру, переходу фазової точки з лівої півплощини в праву і навпаки, відповідно при

$$y_0 > m \text{ і } y_0 < m.$$

5°. Викладенням вище методом можуть бути обґрунтовані ковзні рухи і в інших випадках.

Розглянемо, наприклад, двовимірну систему, поведінка якої підлягає тій же по виду сукупності диференціальних рівнянь

$$\begin{aligned} \frac{dx}{d\tau} &= x + y - m(x), \\ \frac{dy}{d\tau} &= -(x + y), \end{aligned} \tag{54}$$

що і система, розглянута вище, але з функцією $m(x)$, яка визначається графіком, зображеним на рис. 13.

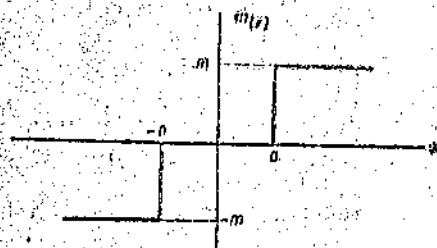


Рис. 13.

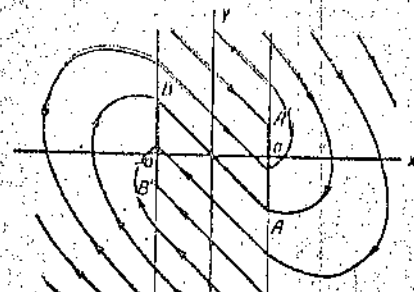


Рис. 14.

Рух фазової точки в областях $x > a$, $x < -a$ відбувається в цьому випадку по параболам (15) (рис. 14).

В області $-a < x < +a$ диференціальні рівняння (54) мають вигляд

$$\begin{aligned} \frac{dx}{d\tau} &= x + y, \\ \frac{dy}{d\tau} &= -(x + y), \end{aligned} \tag{55}$$

звідки випливає, що фазова точка рухається по прямим

$$x + y = 0. \tag{56}$$

Цей рух відбувається зліва направо по прямим (56), що перетинають вісь ординат вище початку і справа наліво, якщо цей перетин знаходиться нижче початку координат.

Всі точки прямої

$$x + y = 0. \tag{57}$$

розміщені в області $-a < x < +a$ і являються положеннями нестійкої рівноваги системи.

По вертикальним відрізкам AA' та BB' відбувається ковзний рух фазової точки відповідно в напрямі точок A і B . Ці точки визна-

чають як би напівстійкий стан рівноваги системи, а саме: в залежності від напрямку малого відхилення фазової точки P , наприклад від точки A , вона або повертається в точку A , або направляється в область $-a < x < +a$ і далі асимптотично наближається до точки B .

Для обґрунтування описаних козових режимів потрібно спочатку розглянути динамічну систему, що визначається сукупністю диференціальних рівнянь

$$\begin{aligned} \frac{dx}{d\tau} &= x + y - m^*(x), \\ \frac{dy}{d\tau} &= -(x + y). \end{aligned} \quad (58)$$

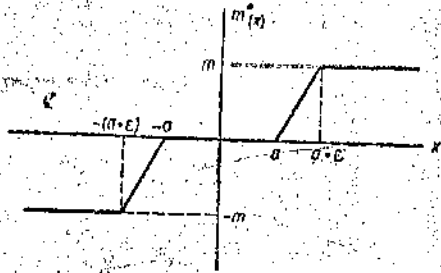


Рис. 15.

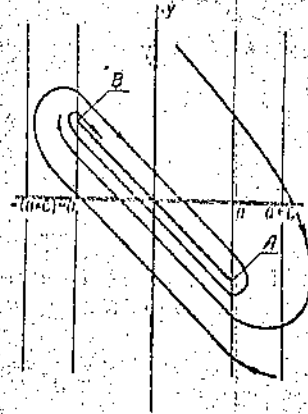


Рис. 16.

де функція $m^*(x)$ — неперервна і має графік, зображений на рис. 15, а потім зробити граничний перехід так, як це було зроблено вище при $\epsilon \rightarrow 0$.

У випадку, коли функція $m^*(x)$ — неперервна, фазові траєкторії при

$$k' = \frac{m}{\epsilon} < 4 \quad (59)$$

„намотуються“ на відрізок AB (рис. 16), точки якого являються положеннями нестійкої рівноваги, включаючи і його кінці A та B . Потрібно, однак, відмітити, що точки відрізка AB мають деяку особливість, невластиву, взагалі, положенням нестійкої рівноваги.

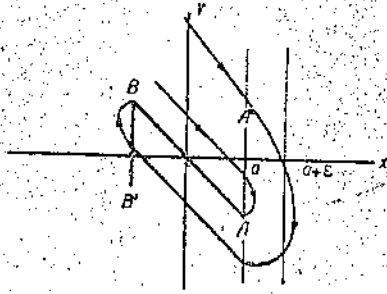


Рис. 17.

При малих відхиленнях фазової точки P від одного з таких положень рівноваги фазова точка після обходу одного з кінців відрізка AB знову проходить поблизу „загубленого“ положення рівноваги. Далі такі проходження відбуваються нескінченне число разів, причому фазова траєкторія необмежено наближається до відрізка AB (стійкість по Пуассону).

Якщо асимптотично При $k \rightarrow \infty$

1. А. Н. рых, технич. 2. В. В.

Надійшло 3.1 1955 р.

О СКОЛ

При р вида

где $X_k(x_1, \dots, x_n)$ в ностях F_j (и системы в x_2, \dots, x_n из соображений соответствующей (рис. 2) независимых. Для ст... ривать дан... мых уравнен

где функциями $X_k(x_1, \dots, x_n)$ ностям раз... следует озн... (рис. 3 и 4) ные на пове... Можно... ие уравнен... дает высказа... пическая сис...

а саме: в залежності від параметра ϵ , наприклад від початку напрямиться в область до точки B . Змінити потрібно сполучення сукупністю дифе-

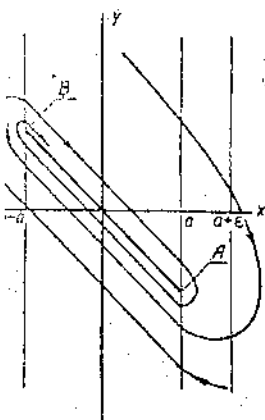


Рис. 16.

ображений на рис. 15, до зроблено вище при

фазові траєкторії при

(59)

з являються положення A та B . Потрібно, деяку особливість, не-

одного з таких положень з кінців відрізка AB рівноваги. Далі такі причому фазова траєкторія по Пуассону).

Якщо $k > 4$, то кожна фазова траєкторія являє собою спіраль, що асимптотично наближається до одного з кінців відрізка AB (рис. 17). При $k \rightarrow \infty$ створюються ділянки ковзання AA' та BB' , описані вище.

ЛІТЕРАТУРА

1. А. Н. Крылов и Ю. А. Крутков, Общая теория гироскопов и некоторых технических их применений, Л., 1952.
2. Б. В. Булгаков, Прикладная теория гироскопов, М., 1939.

Надійшло
3.І 1955 р.

Інститут математики
АН УРСР

О СКОЛЬЗЯЩИХ ДВИЖЕНИЯХ ДИНАМИЧЕСКИХ СИСТЕМ

А. Ю. Ишлинский

Резюме

При рассмотрении динамических систем, описываемых уравнениями вида

$$\frac{dx_k}{dt} = X_k(x_1, x_2, \dots, x_n), \quad k = 1, 2, \dots, n, \quad (1)$$

где $X_k(x_1, x_2, \dots, x_n)$ имеют разрывы первого рода на некоторых поверхностях F_j ($j = 1, 2, \dots, m$), возникает задача об определении движения системы в тех случаях, когда фазовая точка P с координатами x_1, x_2, \dots, x_n попадает на одну из поверхностей разрыва. Принято считать из соображений геометрического характера, что либо точка проскакивает соответствующую поверхность разрыва (рис. 1), либо задерживается на ней (рис. 2), и дальнейшее ее движение происходит с меньшим числом независимых координат. Такое движение называется скользящим.

Для строгого обоснования скользящих режимов предлагается рассматривать динамические системы (1) как предельные для систем, описываемых уравнениями

$$\frac{dx_k}{dt} = X_k^*(x_1, x_2, \dots, x_n), \quad k = 1, 2, \dots, n, \quad (2)$$

где функции $X_k^*(x_1, x_2, \dots, x_n)$ непрерывны и всюду совпадают с функциями $X_k(x_1, x_2, \dots, x_n)$, кроме узких областей, примыкающих к поверхностям разрыва F_j . При стремлении толщины этих областей к нулю следует ожидать, что фазовые траектории, расположенные внутри них (рис. 3 и 4), либо вырождаются в точки, либо в кривую, расположенные на поверхности F_j . Последние соответствуют скользящим режимам.

Можно привести ряд примеров, в которых непосредственное решение уравнений типа (2) с последующим предельным переходом подтверждает высказанное общее предположение. Одним из них является гироскопическая система, описываемая уравнениями

$$\begin{aligned} \frac{dx}{d\tau} &= x + y - m(x), \\ \frac{dy}{d\tau} &= -(x + y), \end{aligned} \quad (3)$$

где функция $m(x)$ определена графиком рис. 6. Фазовые кривые этой системы имеют вид, указанный на рис. 10. Отрезок оси y ($-m, +m$) является участком скользящего режима. Для обоснования скользящих движений, а также „проскока“ фазовой точки через ось y вне упомянутого отрезка, следует рассмотреть систему, описываемую дифференциальными уравнениями

$$\frac{dx}{d\tau} = x + y - m^*(x), \quad (4)$$

$$\frac{dy}{d\tau} = -(x + y),$$

в которых функция $m^*(x)$ уже непрерывна и имеет график, изображенный на рис. 7. Решение уравнений (4) определяет фазовые траектории, гладкие во всей плоскости. При $x_1 \rightarrow 0$ они в пределе стремятся к фазовым кривым системы (3).

Следует отметить, что соответствующие предельные переходы требуют совершенно сравнительно громоздких выкладок.

Если функция $m(x)$ в системе (3) определена графиком рис. 13, то следует предварительно рассмотреть динамическую систему типа (4), где функция $m^*(x)$ определена графиком рис. 15 и сделать предельный переход при $\varepsilon \rightarrow 0$. Соответствующие предельные фазовые траектории изображены на рис. 14. Участки AA' и BB' соответствуют скользящим режимам, а отрезок AB — положениям неустойчивого равновесия системы. Точки A и B обладают свойством полустойчивости, заключающейся в том, что фазовая точка P , будучи „выбита“, например, из точки A либо возвращается в точку A , либо, обходя отрезок AB , приходит в точку B .

ПОПЕР
ПЕРЕ

1. Для
істотні є
експлуатації,
З цієї м
вої фазової ту
ність перебі

При виво
вань будемо
осі інерції бу
лярних площа
одним своїм
вільний (рис.
Введемо т
 x — координ
 l — довжин
 $I(x)$ — мініма
 I_0 — момент
 $F(x)$ — змінна
 F_0 — площа
 ρ — густина
 t — час;
 ω — кутова
 r_0 — зовнішн
 y — прогин
закріпл
(рис. 1)
Граничні